

スピニグラス問題における積分方程式と 代数方程式

東京電機大学 桂重俊 佐々木光弘
(Shigetoshi Katsura, Mitsuhiro Sasaki)

§ Cayley tree (Bethe格子) 上のランダムイシングモデルを
考之3 (図1)

格子点 i のスピン σ の熱力学的平均値は i を最近接格子点の頂上ると

$$\langle \sigma_i \rangle = th \left[\beta H_i + \sum_{j=1}^z th^{-1} (th \beta J_{ij} + th \beta H_j^{(2)}) \right] \quad (1)$$

で与えられる。 H_i は外場, $H_j^{(2)}$ は H_{j-i} と書くべき量で ij ボンドの
 j に働く i 以外の外から働く有効場である。 $H_j^{(2)}$ を定める
式は

$$H_{j-i}^{(2)} = \frac{1}{\beta} \sum_{k=1}^{z-1} th^{-1} (th \beta J_{jk} + th \beta H_{k-j}^{(2)}) \quad (2)$$

である。¹⁾ (1), (2) の \sum の中の1項

$$th^{-1} (th \beta J_{jk} + th \beta H_{k-j}^{(2)}) = h_{jk} \quad (2')$$

は single bond jk における k からの j に働く有効場でこれを h_{jk}
と記す。

$$H_{j-i}^{(2)} = \sum'_{k \neq i} h_{jk} + H_i \quad (3)$$

である。

ランダム系では J の分布が与えられる。例えれば ±J モデルでは

$$P(J) = p \delta(J - J_0) + (1-p) \delta(J + J_0) \quad (4)$$

或は Gaussian モデル

$$P(J) = \frac{1}{\sqrt{2\pi} \Delta J} \exp \left[-\frac{(J - J_0)^2}{2 \Delta J^2} \right] \quad (5)$$

等。以下 ±J モデルの場合を考之3. (1) は

$$H_i^{(1)} = \sum_{j=1}^z h_{ij} + H_i \quad (6)$$

$$\langle \sigma_i \rangle = th \beta H_i^{(1)} \quad (7)$$

のよう書ける。

ここでランダム系とレコトがランダムに交換されるとドンドランダム系を考える。ランダム系では J の分布のため, $h, H^{(2)}, H^{(1)}$ は分布を持つ。その分布関数を $g(h), G_T^{(1)}(H^{(1)}), G_T^{(2)}(H^{(2)})$ とする。

(3) および (6) により外場 $H_i = 0$ の場合を考えると

$$G_T^{(2)}(H_i^{(2)}) = \int S(H_i^{(2)} - \sum_{\substack{k=1 \\ k \neq i}}^{2-1} h_k) \prod_{k=1}^{2-1} g(h_k) dh_k \quad (8)$$

$$G_T^{(1)}(H^{(1)}) = \int S(H^{(1)} - \sum_{k=1}^2 h_k) \prod_{k=1}^2 g(h_k) dh_k \quad (9)$$

の関係がある、(8)(9)より $g(h)$ の Fourier 变換 $S(k)$ が分れば $G_T^{(2)}(H^{(2)}), G_T^{(1)}(H^{(1)})$ は $[S(k)]^{2-1}, [S(k)]^2$ の逆 Fourier 变換で表されることが分かる。

(2') と (3) より

$$g(h) = \int S\left(h - \frac{1}{\beta} h^{-1}(th\beta J + th\beta H^{(2)})\right) G_T^{(2)}(H^{(2)}) dH^{(2)} P(J) dJ \quad (10)$$

$$g(h) = \int S\left(h - \frac{1}{\beta} h^{-1}(th\beta J + th\beta \sum_{k=1}^2 h_k)\right) \prod g_k(h_k) dh_k P(J) dJ \quad (11)$$

となる。これが $g(h)$ の方程式である。 $g(h)$ が h の偶数の場合 $P(J)$ は J の偶数の確率は全支点の J 以下この場合を考える。

$$\lim_{\beta \rightarrow \infty} \frac{1}{\beta} h^{-1}(th\beta J + th\beta H) = \text{sgn}(J) \text{sgn}(H) \min(|J|, |H|) \quad (12)$$

が成立する。注意する。(以下 $T \rightarrow 0$ の場合を考える。) ただし $J_0 = 1$ とする。

(10)(11) より

$$g(h) = \int S\left(h - \text{sgn}(H^{(2)}) \min(|H^{(2)}|, 1)\right) S(H^{(2)} - \sum' h_k) dH^{(2)} \times \prod g_k(h_k) dh_k \quad (13)$$

$$= \frac{1}{2\pi} \int dH^{(2)} dy e^{iyH^{(2)}} S\left(h - \text{sgn}(H^{(2)}) \min(|H^{(2)}|, 1)\right) \times \prod' \int e^{-iyh_k} g(h_k) dh_k \quad (14)$$

* (11) & (4) 式"

$$g(h) = p \int \delta\left(h - \frac{1}{\beta} \operatorname{th}^{-1}(\operatorname{th}\beta J_0 + \operatorname{th}(\beta \sum' h_k))\right) \prod g(h_k) dh_k \\ + (1-p) \int \delta\left(h + \frac{1}{\beta} \operatorname{th}^{-1}(\operatorname{th}\beta J_0 + \operatorname{th}(\beta \sum' h_k))\right) \prod g(h_k) dh_k \quad (11')$$

第2項" $h_k = -h'_k$ とすると $g(h)$ が偶関数となる

$$\int_{-\infty}^{\infty} dh_k g(h_k) = - \int_{-\infty}^{\infty} dh'_k g(-h'_k) = \int_{-\infty}^{\infty} dh'_k g(h'_k)$$

\therefore " h'_k と h_k は $h_k = \frac{1}{\beta} \operatorname{th}^{-1}(h'_k)$ "

$$(11') = \int \delta\left(h - \frac{1}{\beta} \operatorname{th}^{-1}(\operatorname{th}\beta J_0 + \operatorname{th}(\beta \sum' h_k))\right) \prod g(h_k) dh_k$$

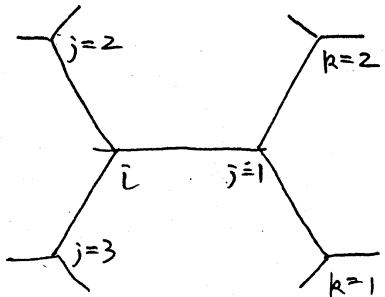


图 1

$$= \frac{1}{2\pi} \int dH^{(2)} e^{iyH^{(2)}} \delta(h - \operatorname{sgn}(H^{(2)}) \min(1, |H^{(2)}|)) [S(y)]^{z-1} dy \quad (15)$$

∴ = 12

$$S(z) = \int g(h) e^{-izh} dh. \quad (16)$$

(16) の左辺を e^{-izh} を分母に dh で積分すると

$$S(x) = \frac{1}{2\pi} \int K(x, y) [S(y)]^{z-1} dy \quad (17)$$

$$K(x, y) = \int e^{iyH^{(2)}} \delta(h - \operatorname{sgn}(H^{(2)}) \min(1, |H^{(2)}|)) e^{-izh} dH^{(2)} dh \quad (18)$$

$$= \int e^{iyH^{(2)}} e^{-iz \operatorname{sgn}(H^{(2)}) \min(1, |H^{(2)}|)} dH^{(2)} \quad (18')$$

(18') は非線型積分方程式の標準形である。

∴ = 21

$$S(x) = \sum_{l=-n}^n \mu_l e^{i \frac{l}{n} x} \quad (19)$$

∴ = 22

$$g(h) = \sum_{l=-n}^n \mu_l \delta\left(h - \frac{l}{n}\right) \quad (20)$$

とおしく

$$[S(y)]^{z-1} = \left[\sum_{l=-n}^n \mu_l e^{i \frac{l}{n} y} \right]^{z-1} = \sum a_m e^{i \frac{m}{n} y}. \quad (21)$$

$$G_p(H^{(2)}) = \sum_{m=-(z-1)n}^{(z-1)n} a_m \delta\left(H^{(2)} - \frac{m}{n}\right) \quad (21')$$

とおしく

$$S(x) = \frac{1}{2\pi} \int e^{iyH^{(2)}} \sum a_m e^{i \frac{m}{n} y} e^{-iz \operatorname{sgn}(H^{(2)}) \min(1, |H^{(2)}|)} \frac{dy}{dH^{(2)}} \quad (21'')$$

$$\begin{aligned} &= \sum a_m \delta\left(H^{(2)} - \frac{m}{n}\right) e^{i x \operatorname{sgn}(H^{(2)}) \min(1, |H^{(2)}|)} dH^{(2)} \quad (21''') \\ &= \sum_{m=-(z-1)n}^{n-1} a_m e^{i x \frac{m}{n}} + \left(\sum_{m=-(z-1)n}^{-n} a_m\right) e^{-ix} + \left(\sum_{m=n}^{(z-1)n} a_m\right) e^{ix} \quad (22) \end{aligned}$$

(21) すなはち $\alpha_m = \left(\sum_{\ell=-n}^n \mu_\ell \bar{z}^\ell \right)^{z-1}$ の \bar{z}^m の係数である. (22)
 より

$$\mu_\ell = \sum_{l_1} \sum_{l_2} \cdots \sum_{l_{z-1}} \mu_{l_1} \mu_{l_2} \cdots \mu_{l_{z-1}} \quad \ell = -n-1, -n-2, \dots, n-1 \\ \sum l_i = \ell \quad (23)$$

$$\mu_n = \sum_{l=n}^{(z-1)n} \sum_{l_1} \sum_{l_2} \cdots \sum_{l_{z-1}} \mu_{l_1} \mu_{l_2} \cdots \mu_{l_{z-1}}, \quad (24)$$

$$\sum l_i = \ell$$

$$\mu_{-n} = \sum_{l=-(z-1)n}^{-n} \sum_{l_1} \sum_{l_2} \cdots \sum_{l_{z-1}} \mu_{l_1} \mu_{l_2} \cdots \mu_{l_{z-1}} \quad (24')$$

という $(2n+1)$ 变数 $(z-1)$ 次の連立
 代数方程式が得られる.
 特殊解 $\mu_\ell = \mu_{-l}$ の場合. $\ell = 0, 1, \dots, n-1$ は (23)
 と

$$2 \sum_{\ell=1}^n \mu_\ell + \mu_0 = 1 \quad (25)$$

が $n+1$ 個の变数に対する十分である.

$z=2$ に対する (23)(25) は

$n=1$

$$\begin{aligned} \mu_0 + 2\mu_1 &= 1 \\ \mu_0^2 + 2\mu_1^2 &= \mu_0 \end{aligned} \quad (26)$$

$n=2$.

$$\begin{aligned} \mu_0 + 2\mu_1 + 2\mu_2 &= 1 \\ \mu_0^2 + 2\mu_1^2 + 2\mu_2^2 &= \mu_0 \\ \mu_1\mu_2 + 2\mu_0\mu_1 &= \mu_1 \end{aligned} \quad (27)$$

$\frac{\partial}{\partial z} T_{\bar{z}^3}$
 $\frac{(23), (25)}{(26)(27)}$ は 2つの代数方程式と 2つの多項式である.

これが大抵 $T_{\bar{z}^3}$ に対する Gröbner basis の方法で用いられ、 μ_0 は $2^n - 1$ 次の整数係数代数方程式
 $F(\mu_0) = 0$ と $2^n - 1$ 次の多項式 $f_0(\mu_0) = f_3 \mu_2 = f_2(\mu_0)$ で帰着される.

例えば

$n=1$

$$\begin{aligned} 3\mu_0^2 - 4\mu_0 + 1 &= 0 \\ 2\mu_1 + \mu_0 - 1 &= 0 \end{aligned} \tag{28}$$

$n=2$

$$\begin{aligned} 21\mu_0^4 - 46\mu_0^3 + 34\mu_0^2 - 10\mu_0 + 1 &= 0 \\ 4\mu_1 + 42\mu_0^3 - 71\mu_0^2 + 34\mu_0 - 5 &= 0 \\ 4\mu_2 - 42\mu_0^3 + 71\mu_0^2 - 32\mu_0 + 3 &= 0 \end{aligned} \tag{29}$$

等.

μ_0 の方程 (23) (25) からその解を求めるに $n=1, 2$ の 2 案

2

$$\mu_0 = \mu_0 {}_{-1}^{z-1} F_1 \left(\frac{1-z}{2}, 1-\frac{z}{2}; 1; \left(\frac{1-\mu_0}{\mu_0} \right)^2 \right) \tag{30}$$

と $\frac{\partial}{\partial z}$ を用いて、特に $z=3$ のとき $\mu_0 = \mu_1 = \mu_2 = \frac{1}{3}$. (Katsura et al. 1979)

$z=3$ に付し $n=2$ 以上の解の存在は Yamashiro が注意した (1980)

$z=3$ に付し $n=1, 2, 3, 4$ を数値計算で Miyamoto が求めた。

Gröbner basis による解は Fukuda が 理研の SAC2 の subroutine

を用いて $n=3$ まで求めた。Gebauer が $n=4$ を Gröbner basis で

求めた。^{2) 3)} この問題の $n=5$ 以上の Gröbner basis を求めた

ことは数式処理研究会のよい例題となつて来た。(Moritsugu, ⁴⁾ 木村)

$z=3$ の $F_n(\mu_0) = 0$ は μ_0 の 2 次式であるが物理的に意味のあるものは確率分布の意味をもつもので、 $1 \geq \mu_0 \geq 0$ をみたすものである。その解の数は

n	1	2	3	4	5
物理的意味のある解	2	3	3	4	3
物理的意味のない実数解	0	1	3	8	
複素解	0	0	2	4	
全数	2	4	8	16	
$\omega(n)$	1	2	2	3	2

となる。³⁾ 特に物理的意味のある解の数は n の約数の数を

$\omega(n)$ とすると $\omega(n)+1$ となる限り、 n に対する解は n の約数に
対するすべての解を含んでゐる。 $n=1, 2, 3, 4$ に対する解 $g(h)$ の
様子は以前に示したとおり省略する。^{3) 8)}

5) 連続分布解⁵⁾

図2より $n \rightarrow \infty$ の極限での解は $h=-1, 0, 1$ における S と
 $-1 < h < 1$ における連続関数の和で表されることが予想される。
Morita (1984) は $-1 < h < 1$ を 512 分割して数値計算でこの
連続関数部分を得た。ここで解説的につきまとめる。

(18) より

$$\begin{aligned} K(x, y) &= \int_1^\infty dH^{(2)} e^{-iyH^{(2)}} - ix + \int_{-\infty}^{-1} dH^{(2)} e^{-iyH^{(2)}} + ix \\ &\quad + \int_0^1 dH^{(2)} e^{i(y-x)H^{(2)}} + \int_{-1}^0 dH^{(2)} e^{i(y+x)H^{(2)}} \end{aligned} \quad (31)$$

$$= 2\pi \cos x S(y) - 2 \cos x \frac{\sin y}{y} + \frac{\sin(y-x)}{y-x} + \frac{\sin(y+x)}{y+x} \quad (32)$$

$S(x)$ を偶関数とすれば (32) の右辺第4項を除き第3項の
係数を2倍にしてよい。すなはち Bessel 関数の加法定理

$$\frac{\sin(y \mp x)}{y \mp x} = \sum_{n=0}^{\infty} (\pm 1)^n (1+2n) j_n(x) j_n(y) \quad (32)$$

を用いて

$$K(x, y) = 2\pi \cos x S(y) - 2j_0(y) \cos x + 2 \sum_{n=0}^{\infty} (1+4n) j_{2n}(x) j_{2n}(y) \quad (33)$$

$S(x)$ を

$$S(x) = a + b \cos x + \sum_{\ell=0}^{\infty} C_{2\ell} j_{2\ell}(x) \quad (34)$$

とおき (33)(34) を整分方程式に入れると未定係数の間の代数方
程式

$$a = a^2 + b^2 / 2 \quad (35)$$

$$b = 2ab + bc_0 + b^2 / 2 + c_0^2 - \sum_{\ell} \sum_m C_{2\ell} C_{2m} I_{0, 2\ell, 2m} \quad (36)$$

$$C_{2n} = 2a C_{2n} + 2b (1+4n) \sum_{\ell} C_{2\ell} I_{2\ell, 2n} + (1+4n) \sum_{\ell} \sum_m C_{2\ell} C_{2m} I_{2\ell, 2m} \quad (37)$$

左得3. 乃方

$$a+b+c_0=1 \quad (38)$$

が成立つ。 ここに

$$I_{2l,2m} = \frac{1}{\pi} \int_{-\infty}^{\infty} dy j_{2l}(y) j_{2m}(y) \cos y$$

$$I_{2l,2m,2n} = \frac{1}{\pi} \int_{-\infty}^{\infty} dy j_{2l}(y) j_{2m}(y) j_{2n}(y) \quad (39)$$

2"

$$I_{00} = \frac{1}{2} \quad I_{02} = 0 \quad I_{22} = \frac{7}{80} \quad I_{000} = \frac{3}{4} \quad I_{002} = \frac{1}{16} \quad I_{022} = \frac{1}{160} \quad I_{222} = \frac{9}{256}$$

等である。 $I_{2l,2m}$, $I_{2l,2m,2n}$ は l, m, n の増加と共に急激に小さくなるので (35) を l, m, n を有限で打切りてもよい近似が得られると言えられる。これもまた Gröbner basis のよい例題である。規格化条件 (36) があるのでは (36) は C_0 に対する式のとき用いればよい。 b までも打切りの場合には前節の $n=1$ の結果を再現す。表 1.2.1 は C_0 までも打切りの場合とよび C_2 までも打切りの場合の Gröbner basis を示す。 C_0 までも打切りと C_2 までも打切りとの結果を比較しての truncation の収束が非常によいことが分る。 C_2 までも打切りの $g(h)$ の図も ref. 1, 8 に示されている。前節の場合は俠光の h を h に替えて積分方程式の正確解と之だが、本節では C_l を l で打切りと之の解は収束の極めてよい正確解に収束する関数列を示す。

3. 其後の展開。

以上 $Z=3$ の場合に $z=2$ のベニス、 $Z=4, 5, 6$ に対する解は非連続解に付いて Inawashiro-Katsura 1980 がある。連続解に付いて Sasaki-Katsura 1988 がある。⁶⁾

強磁性 bond の濃度(確率) $P(j)$ を (4) の形に $z=5$ のとき、 p を $\frac{1}{2}$ と $g(h)$ がどうなるかという問題は Sasaki-Katsura⁷⁾ がある。このとき (32) は

$$K(x, y) = 2\pi \delta(y) \cos x$$

$$\begin{aligned} & -2p \frac{\sin(y-x)}{y} - 2(1-p) \frac{\sin(y+x)}{y} \\ & + 2p \frac{\sin(y-x)}{y-x} + 2(1-p) \frac{\sin(y+x)}{y+x} \end{aligned} \quad (40)$$

となり、

$$S(x) = a + b \cos x - i c \sin x + \sum_{n=0}^{\infty} (-i)^n d_n j_n(x) \quad (41)$$

となる。すなはち

$$g(h) = a S(h) + \frac{1}{2} \{(b+c) S(h-1) + (b-c) S(h+1)\}$$

$$+ \frac{1}{2} \sum_{\ell=0}^{\infty} d_\ell P_\ell(h) \quad (|h| \leq 1) \quad (42)$$

ここで $a, b, c, d_0, d_1, d_2, d_3$ までの代数方程式は表 3 のように表す。解は

$$1) \quad a=1, \quad b=c=d_0=d_1=d_2=d_3=0$$

$$2) \quad a=\frac{1}{3}, \quad b=\frac{2}{3}, \quad c=d_0=d_1=d_2=d_3=0$$

$$3) \quad a=\frac{1}{2p-1}, \quad b=2-\frac{1}{2p-1}, \quad c=[(8p-7)(4p-3)]^{1/2}/(2p-1)$$

$$4) \quad a=0.10683, \quad b=0.43686, \quad d_0=0.45631, \quad d_2=0.05757 \\ c=d_1=d_3=0$$

$$5) \quad a, b, \dots, d_3 \neq 0 \text{ の解} \quad p \text{ の解} \quad (43)$$

12 分類される。今まで得られてる 1) - 4) の他 5) が得られてる。
 $g(h)$ の図は別に示してある。 h の領域ごとの解が物理的に実現されるかについては現在検討中である。また energy の極値と整分方程式の解の関係も述べてある。

References

- 1) (1) (2) の書出 12
S. Katsura and S. Fujiki, J. Phys C. 12 (1979) 1087
総合報告上 12
S. Katsura, Prog. Theor. Phys. Suppl. No. 87 (1986) 139
桂、猪苗代、木村原、藤木、日本物理学会誌 42 (1987) 639,
S. Katsura, S. Inawashiro and T. Morita, J. Phys A 21
(1988) 1937.
- 2). B. Buchberger, in Multidimensional Systems Theory
(N. K. Bose ed.) (1985, Reidel, Dordrecht) 184.
W. Boerge, R. Gebauer, and H. Kredel, J. Symbolic
Computation 1 (1986) 83.
- 3) S. Katsura, W. Fukuda, S. Inawashiro, N.M. Fujiki
and R. Gebauer, Cell Biophys. 11 (1987) 309.
- 4) S. Moritsugu, On solving a system of algebraic
equations by using a Gröbner basis, ISSAC 1988
小林英恒 連立代数方程式の簡単化とその解法, 1986.9.26
統計研
- 5) 1) の Progress o Supplement 参照
- 6) M. Sasaki and S. Katsura, Physica in press.
- 7) M. Sasaki and S. Katsura, Physica in press.
- 8) 桂 理研シニホ・シラム 1988.2月, 数式処理通信 5 No.4
1988.11月. p.13.

100

表 1. C_0 まごとつきときの Gröbner basis
とその解

```
A>reduce33
in "gro2.red";
off time;

off ratpri$

load"groebner"$

f1:=-a+a**2+b**2/2$

f2:=3/4*c0**2+c0*c2/8+c2**2/160$

f2:=-b+2*a*b+b*c0+b**2/2+c0**2-f21$

f3:=-c0+2*a*c0+b*c0+f21$

f4:=-c2+2*a*c2-7/8*b*c2+5/16*c0**2
+c0*c2/16+45/256*c2**2$

f5:=a+b+c0-1$

c2:=0$

end;

2: groebner((f1,f2,f3,f5),(c0,a,b));
```

$$(C_0 + \frac{27}{5}B^3 - \frac{3}{2}B^2 - \frac{7}{5}B,$$
$$A - \frac{27}{5}B^3 + \frac{3}{2}B^2 + \frac{12}{5}B - 1,$$
$$B^4 - \frac{4}{9}B^3 - \frac{4}{9}B^2 + \frac{16}{81}B)$$

```
3: in "gr01.red";
solve(third(input(2)),b);

(B=0,B=4/9,B=2/3,B= - 2/3)
multiplicities!*
```

(1,1,1,1)

```
yl:=first(input(2));
```

101

```
Y1 := (54*B3 - 15*B2 - 14*B + 10*C0)/10  
y2:=second(input(2));
```

```
Y2 := (10*A - 54*B3 + 15*B2 + 24*B - 10)/10  
b:=0$
```

```
solve(y1,c0);
```

```
(C0=0)  
solve(y2,a);
```

```
(A=1)
```

```
clear b$
```

```
b:=4/9$
```

```
solve(y1,c0);
```

```
(C0=4/9)  
solve(y2,a);
```

```
(A=1/9)
```

```
clear b$
```

```
b:=2/3$
```

```
solve(y1,c0);
```

```
(C0=0)  
solve(y2,a);
```

```
(A=1/3)
```

```
clear b$
```

```
b:=-2/3$
```

```
solve(y1,c0);
```

```
(C0=4/3)  
solve(y2,a);
```

```
(A=1/3)
```

```
end;
```

表2. C_2 从 $\mathbb{S} \rightarrow \mathbb{T}_2$ 上的 Gröbner basis

6:
groebner(({f5,f3,f2,f3,f4),(c2,c0,b,a));

$$\begin{aligned} & 535333671491075763213860521904781915673 \quad 7 \\ (\text{c2} - & 3726681871841996206914766278492160 \quad + \\ 251763756608325132004726974078402640323 \quad 6 \\ - & 483982881452493457232659202318080 \quad - \\ 37266681871841996206914766278492160 \quad - \\ 19691981900242996082775583468147570066059 \quad 4 \\ - & 3726681871841996206914766278492160 \quad - \\ 132954370108602329885377854672478977549 \quad 3 \\ - & 67757603403349084012572302345312 \quad + \\ 26871688942976387392805804698230852401 \quad 2 \\ - & 74533363743683992413827353255698432 \quad - \\ 205511891546271114659911869295329230779 \quad + \\ - & 7453336374368399241382953255698432 \quad + \\ 469765428850710538530460779761192645 \quad , \\ - & 745336374368399241382953255698432 \quad , \\ \text{co } + & 3999198412747322471520347516631 \quad 7 \\ - & 141526048436749768091238400 \quad - \\ 206668372669593992254164305339 \quad 5 \\ - & 202180069129535681155891238400 \quad - \\ 145928867801348115138373255253 \quad 4 \\ - & 141526048436749768091238400 \quad - \\ 2162824763075853565584509178061 \quad 3 \\ - & 5661041937469990723649536 \quad - \\ 18193108671107743904303448797 \quad 2 \\ - & 25732008806681778016588880 \quad - \\ 317845C901663531604249819089 \quad , \\ - & 5661041937469990723649536 \quad + \\ 78571943498679733271667439 \quad , \\ - & 5661041937469990723649536 \quad , \\ 8 & 2047389435712 \quad 7 \quad .3399016617044 \quad 6 \\ - & 504997152843 \quad - *A \quad + \quad .504997152843 \quad - \\ 2983827182848 \quad 5 \quad .1492044824578 \quad 4 \quad .1275872135360 \quad 3 \\ - & 504997152843 \quad - *A \quad + \quad .504997152843 \quad - \\ 19453983820 \quad 2 \quad .449350400 \quad .rA \quad .304677025 \quad , \\ - & 1514991458529 \quad .504997152843 \quad 1514991458529 \quad , \\ 216282476307585366584509178061 \quad 3 \\ - & 5661041937469990723649536 \quad , \end{aligned}$$

表3 非対称分布の代数方程式

$$a = a^2 + \frac{1}{2}b^2 - \frac{1}{2}c^2$$

$$b = \frac{1}{2}b^2 + 2ab + d_0^2 + bd_0 + \frac{1}{2}c^2$$

$$- \left(\frac{3}{4}d_0^2 - \frac{1}{8}d_0d_2 - \frac{5}{48}d_1^2 + \frac{1}{48}d_1d_3 + \frac{1}{160}d_2^2 + \frac{19}{1792}d_3^2 \right)$$

$$c = (2p-1) \{ 2ac + bc + (cd_0 + \frac{1}{2}bd_1 - \frac{1}{8}bd_3) \}$$

$$- \left(\frac{1}{3}d_0d_1 + \frac{7}{120}d_1d_2 - \frac{19}{560}d_2d_3 \right) \}$$

$$d_0 = 2ad_0 + (bd_0 - \frac{1}{2}cd_1 + \frac{1}{8}cd_3)$$

$$+ \left(\frac{3}{4}d_0^2 - \frac{1}{8}d_0d_2 - \frac{5}{48}d_1^2 + \frac{1}{48}d_1d_3 + \frac{1}{160}d_2^2 + \frac{19}{1792}d_3^2 \right)$$

$$d_1 = (2p-1) \{ 2ad_1 + (\frac{3}{2}cd_0 - \frac{1}{2}bd_1 - \frac{3}{8}cd_2 + \frac{3}{8}cd_3) \}$$

$$+ \left(\frac{5}{8}d_0d_1 - \frac{5}{16}d_1d_2 + \frac{13}{128}d_2d_3 - \frac{1}{16}d_3d_0 \right) \}$$

$$d_2 = 2ad_2 + (\frac{5}{8}cd_1 - \frac{7}{8}bd_2 + \frac{5}{16}cd_3)$$

$$+ \left(-\frac{5}{16}d_0^2 + \frac{1}{16}d_0d_2 + \frac{25}{96}d_1^2 - \frac{65}{384}d_1d_3 - \frac{45}{256}d_2^2 + \frac{45}{512}d_3^2 \right)$$

$$d_3 = (2p-1) \{ 2ad_3 + (-\frac{7}{8}cd_0 + \frac{7}{8}bd_1 - \frac{7}{16}cd_2 - \frac{5}{16}bd_3) \}$$

$$+ \left(-\frac{7}{48}d_0d_1 + \frac{91}{384}d_1d_2 - \frac{63}{256}d_2d_3 - \frac{19}{128}d_3d_0 \right) \}$$

$$a + b + d_0 = 1$$